

Sveučilište u Zagrebu

Građevinski fakultet

Diplomski sveučilišni studij

Smjer: GEOTEHNIKA

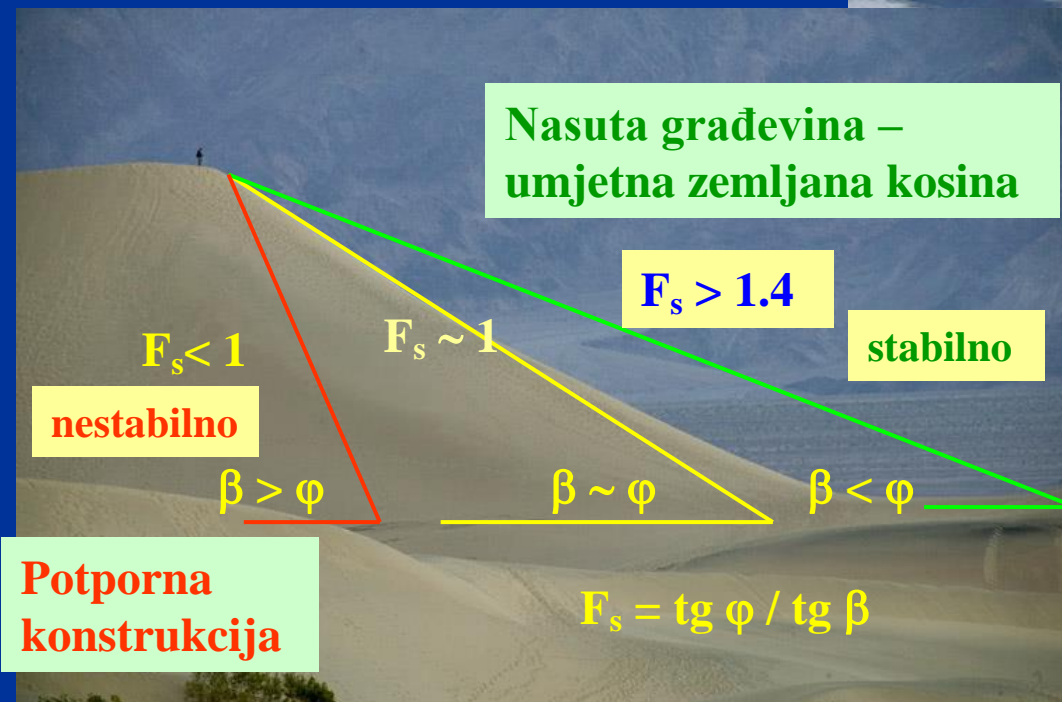
# Potporne konstrukcije 1

Prof. dr. sc. Tomislav Ivšić  
Građevinski fakultet Zagreb



# Prirodne kosine - pejzaž

- Nastale raznim geološkim procesima
- Današnja stabilnost ovisi o rasporedu i čvrstoći slojeva , te podzemnoj vodi



Pješčane dine :

- rahle naslage-kosine od suhog pijeska nanesene vjetrom nedavno (nema cementacije, nema vode)
- približno na granici stabilnosti

# Vrste potpornih konstrukcija

## **Svrha, izbor i podjela potpornih konstrukcija**

**Potporne konstrukcije** – građevinske konstrukcije koje podupiru tlo, slične (zrnate) materijale ili vodu.

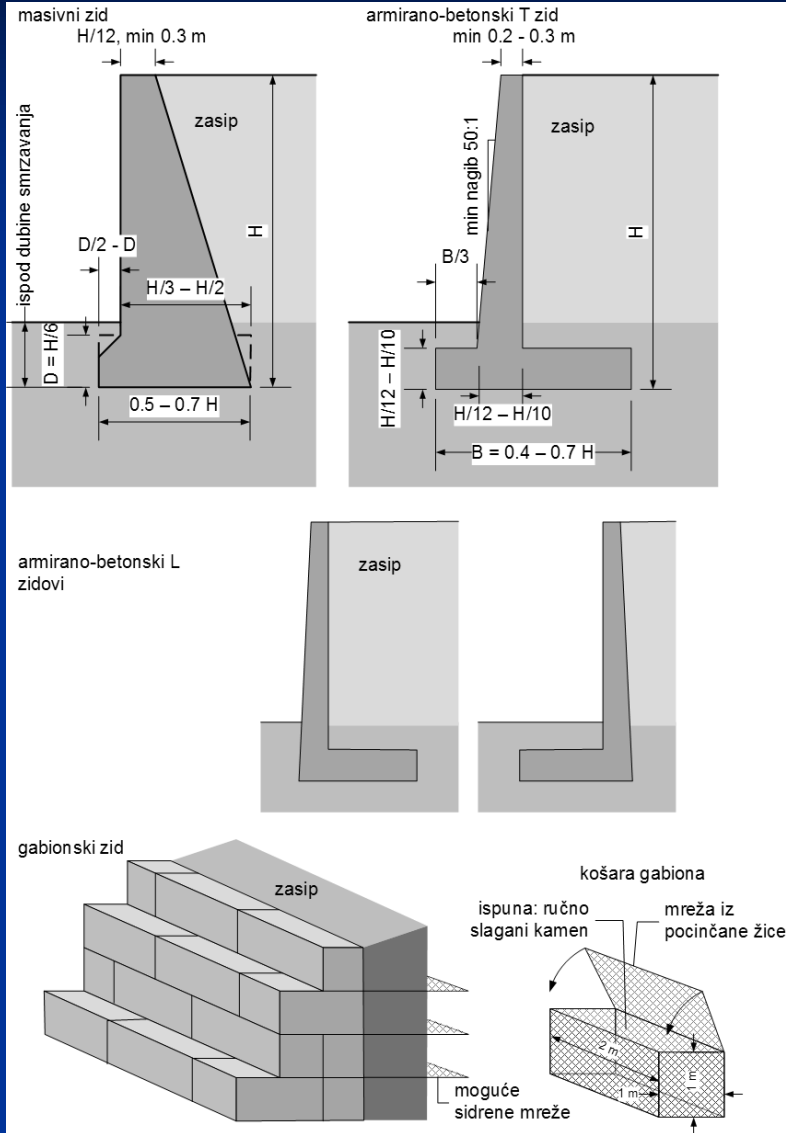
Materijal je poduprt (pridržan) ukoliko stoji s pokosom strmijim od onog kojeg bi eventualno zauzeo kad ne bi bilo konstrukcije (kut odlaganja, "prirodni pokos").



# Podjela potpornih konstrukcija

- **Zasipane potporne konstrukcije** - potporni zidovi, gravitacijske potporne konstrukcije (trad. zidovi od kamena, nearmiranog betona, armiranog betona, armirano tlo)
- **Ugrađene potporne konstrukcije** – ukopane (umetnute u tlo) konstrukcije, savitljive potporne konstrukcije (dijafragme, talpe ili platice...)

# Zasipane potporne konstrukcije



Slika 5-1 Tipične vrste zasipanih zidova s preliminarnim proračunskim dimenzijama: gravitacijski masivni betonski zid (gore lijevo), armirano-betonski gravitacijski zid (gore desno), armirano-betonski L zidovi (u sredini), gabionski zid (dolje)

# Primjeri primjene potpornih zidova

**Uz prometnice**



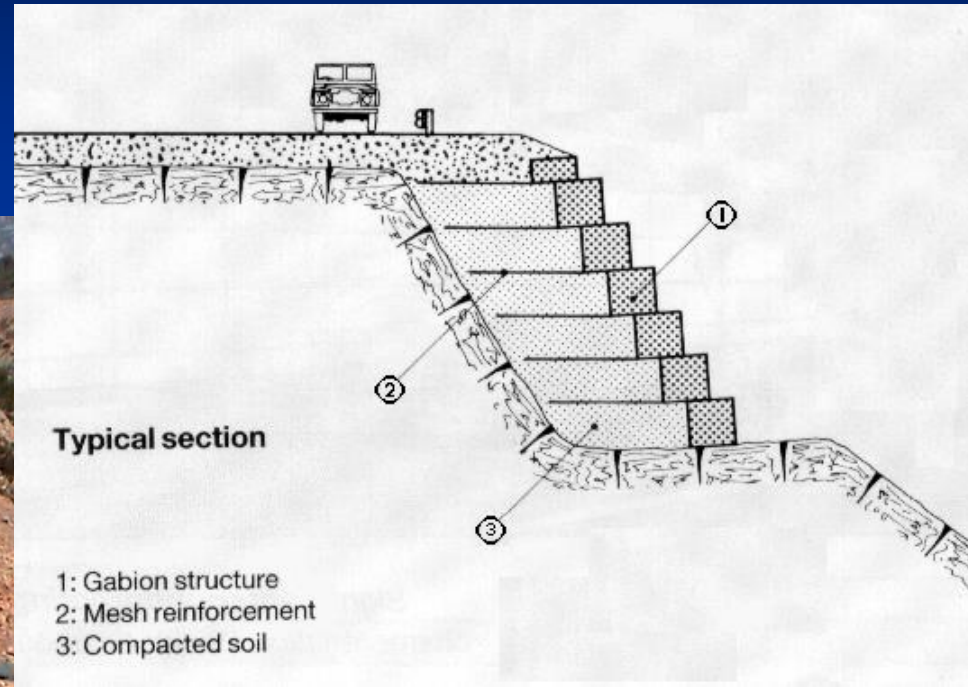
# Primjeri primjene potpornih zidova

**Uz prometnice**



# Primjeri primjene potpornih zidova

## Uz prometnice



# Primjeri primjene potpornih zidova

Uz prometnice



Krapinske Toplice

# Primjeri primjene potpornih zidova

**Obalne konstrukcije, konstrukcije uz vodotoke, jezera, more**



Boulanger



# Primjeri primjene potpornih zidova

**Obalne konstrukcije, konstrukcije uz vodotoke, jezera, more**



# Primjeri primjene potpornih zidova

## Prilagodbe terena, "pejzažna" arhitektura



# Primjeri primjene potpornih zidova

## Prilagodbe terena, "pejzažna" arhitektura



# Primjeri primjene potpornih zidova

## Industrija, mostovi

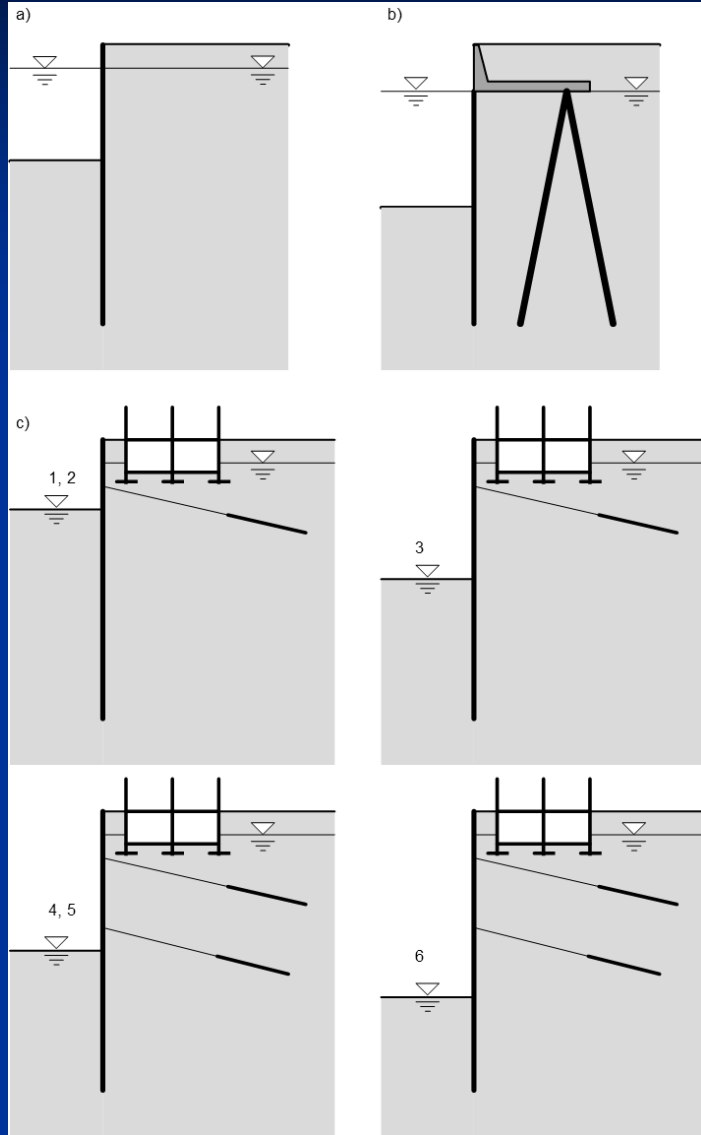


# Primjeri primjene potpornih zidova

## Industrija, mostovi

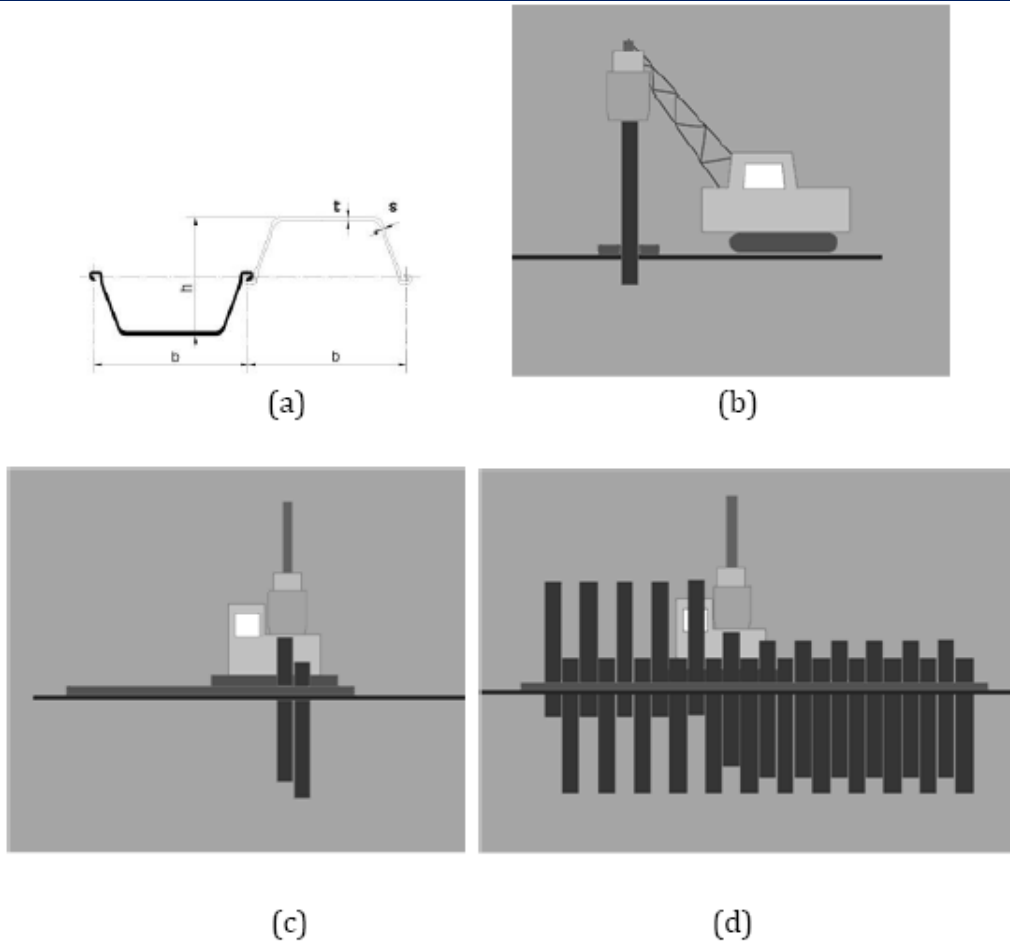


# Ugrađene potporne konstrukcije



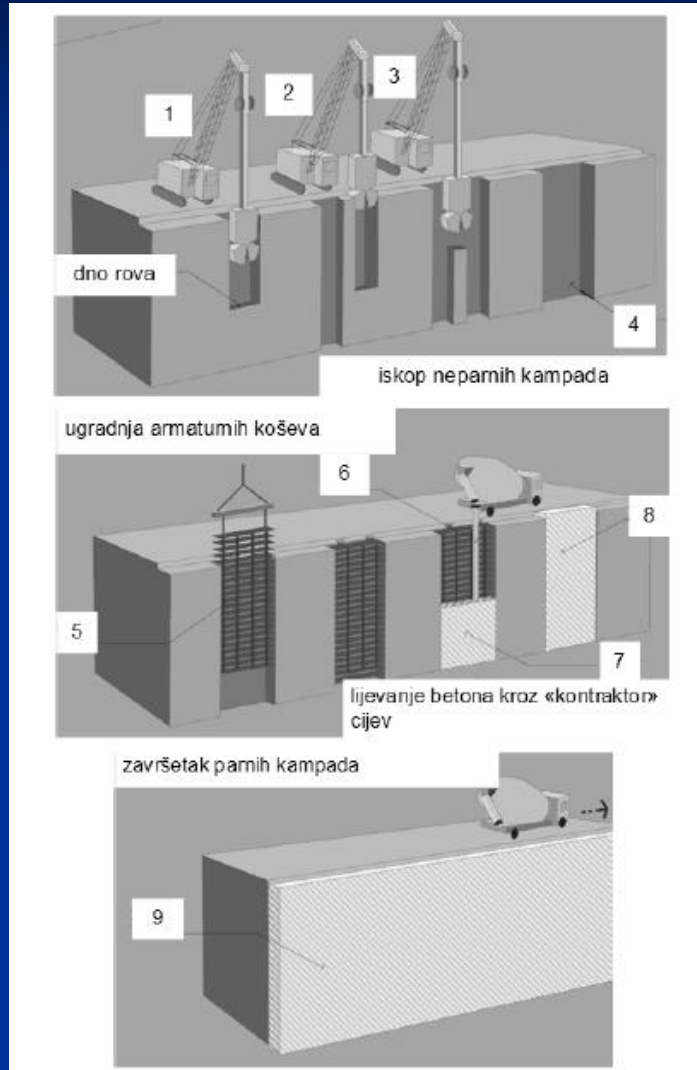
Slika 5-2 Nekoliko tipičnih primjera ugrađenih potpornih konstrukcija: (a) ugrađena potporna konstrukcija kao samostojeći obalni zid ili (b) kao nosač obalne konstrukcije zajedno s grupom kosih pilota za preuzimanje horizontalnog opterećenja; (c) sidrena ugrađena potporna konstrukcija za zaštitu građevne jame u neposrednoj blizini postojeće zgrade s fazama izgradnje (1- ugradnja potporne konstrukcije i djelomični iskop do prvog reda sidara, 2- ugradnja prvog rada sidara, 3- djelomični iskop do drugog reda sidara, 4- ugradnja drugog reda sidara, 5- prednapinjanje drugog reda sidara, 6- iskop do konačne dubine jame)

# Ugrađene potporne konstrukcije

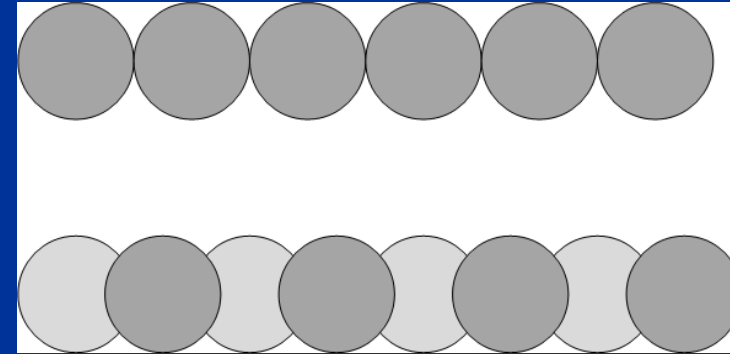


Slika 5-3 Izvedba potporne konstrukcije od čeličnih talpi: (a) tipični poprečni presjek čelične talpe tipa Larsen s bravama na oba ruba i prikazom spajanja susjedne talpe, (b) ugradnja prve talpe u tlo zabijanjem (u gline i tvrđa tla) ili vibriranjem (u krupnozrna tla), (c) ugradnja druge talpe kojoj brava prve služi kao vodilica, (d) ugradnja ostalih talpi u nizu da bi se dobila potporna stijena

# Ugrađene potporne konstrukcije

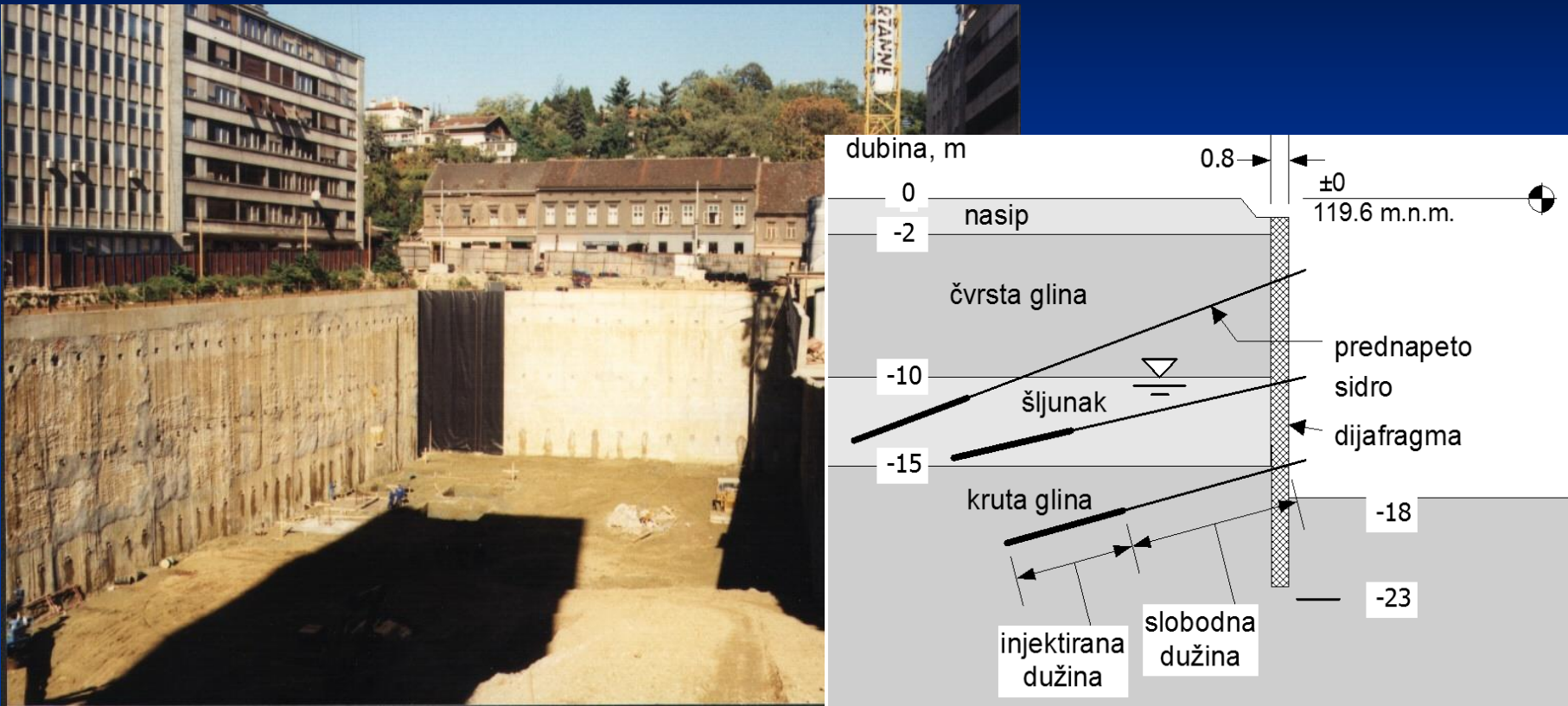


Slika 5-4 Faze izvedbe armirano-betonske dijafragme u tlu:  
1, 2, 3- faze iskopa neparnih kampada, 4- iskopana kampada, 5- spuštanje armaturnog koša u iskopanu kampadu, 6- ulijevanje svježeg betona kroz „kontraktor“ cijev (radi sprječavanja segregacije agregata u betonu), 7- izlijevani dio buduće dijafragme, 8- gotova kampada, 9- izvedena stijena u tlu



Slika 5-5 Tlocrt pilotne stijene: dotičući piloti sa sustavom tvrdo-tvrdo (gore) u kojem se armirano-betonski piloti u nizu dodiruju, i sekantni piloti sa sustavom meko-tvrdo (dolje) u kojem armirano-betonski piloti (tamnije sjenčani) zasijecaju glino-betonske nearmirane pilote (svjetlijie sjenčani)

# Primjeri ukopanih potpornih konstrukcija



Slika 5-6 Građevna jama za Importanne galeriju na Iblerovom trgu u Zagrebu, štićena armirano betonskom dijafragmom s tri reda sidara (gore); poprečni presjek kroz dijafragmu (dolje)

# Primjeri ukopanih potpornih konstrukcija



**Građevna jama za Importanne Centar i garažu u Zagrebu**

# Primjeri ukopanih potpornih konstrukcija



**Gradevna jama – centar "Branimir"**

# Primjeri ukopanih potpornih konstrukcija



# Primjeri izvedbe AB dijafragme



**Strojni iskop**



**Umetanje armature**

# Primjeri izvedbe AB dijafragme



**Iskop s bermom**

**Gotova dijafragma**

# Primjeri izvedbe AB dijafragme

**Centar "Branimir"**



# Primjeri izvedbe AB dijafragme

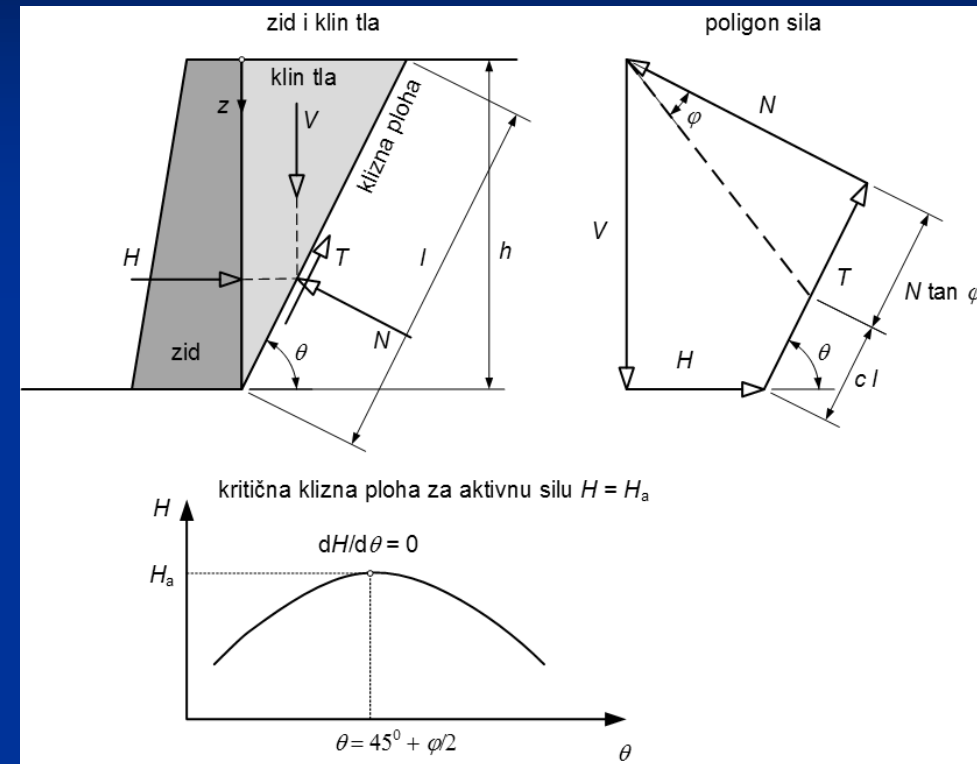
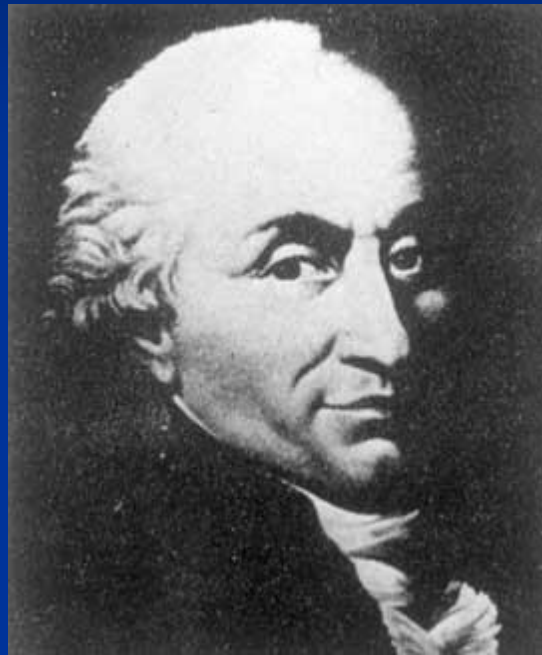


**Centar "Branimir"**



# Pritisak tla na zidove i granična stanja

## Počeci: Coulomb i Rankine



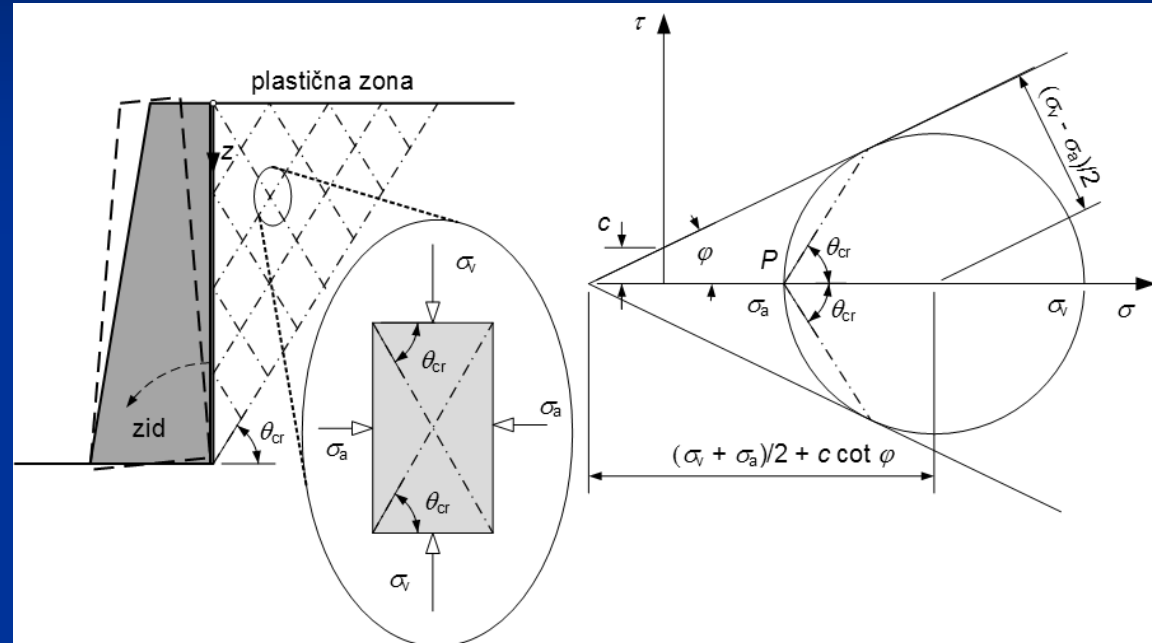
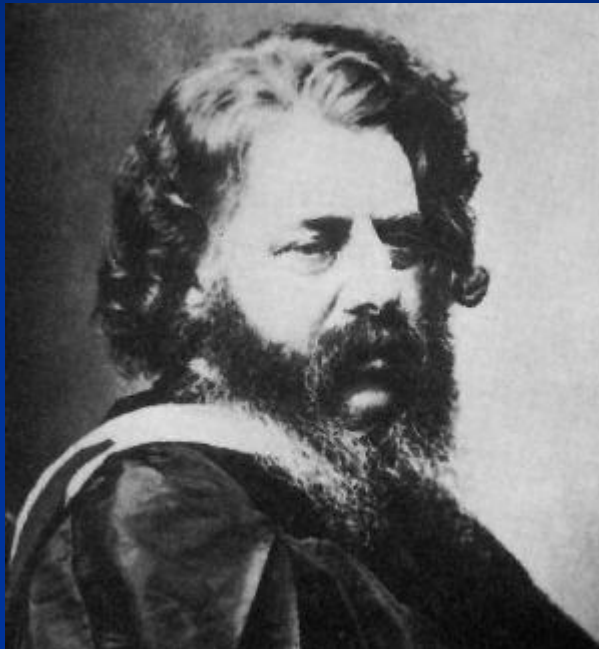
**Coulomb 1736-1806**  
**Objavljeno 1773.**

Slika 5-7 Uz Coulombovu teoriju pritisaka na zid u aktivnom stanju;



$H_a$  je rezultanta pritiska tla na u aktivnom stanju sloma tla

# Pritisak tla na zidove i granična stanja

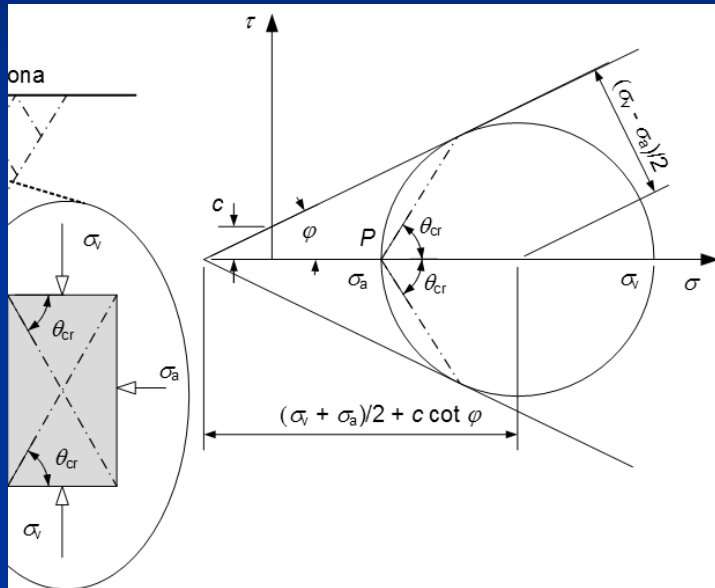


**Rankine 1820-1872**  
**Objavljeno 1857.**

Slika 5-8 Uz Rankineovo stanje aktivnog tlaka iza zida

# Pritisak tla na zidove i granična stanja

Uz Rankineovo stanje aktivnog tlaka iza zida



$$\tau_f = c + \sigma \tan \varphi \quad (1)$$

Čvrstoća tla

$$\frac{1}{2} (\sigma_v - \sigma_a) = \sin \varphi$$

$$\frac{1}{2} (\sigma_v - \sigma_a) + c \cot \varphi$$

Jednakost iz  
dijagrama

$$\sigma_a = \sigma_v K_a - 2c\sqrt{K_a}$$

Aktivni tlak

$$K_a = \frac{1 - \sin \varphi}{1 + \sin \varphi} = \tan^2 \left( 45^\circ - \frac{\varphi}{2} \right)$$

Koeficijent  
aktivnog tlaka

$$\theta_{cr} = \theta_a = \pm \left( 45^\circ + \frac{\varphi}{2} \right)$$

Kut otklona ravnina na  
kojima se doseže čvrstoća

- za aktivni tlak

$$\theta_{cr} = \theta_p = \pm \left( 45^\circ - \frac{\varphi}{2} \right)$$

- za pasivni otpor

$$\sigma_p = \sigma_v K_p + 2c\sqrt{K_p}$$

Pasivni otpor

$$K_p = \frac{1 + \sin \varphi}{1 - \sin \varphi} = \tan^2 \left( 45^\circ + \frac{\varphi}{2} \right) = \frac{1}{K_a}$$

Koeficijent  
pasivnog otpora

# Pritisak tla na zidove i granična stanja

## Bočni pritisci na nepomični zid

$$K_0 = \frac{\sigma'_h}{\sigma'_v} = 1 - \sin \varphi'$$

*koefficijent bočnog mirnog pritiska – Jaky, 1944*

Za nekoherenntno tlo

$$K_0 = K_{0nc} \sqrt{OCR} = (1 - \sin \varphi') \sqrt{OCR}$$

Za koherenntno tlo

$$K_{0;\beta} = K_0 (1 + \sin \beta)$$

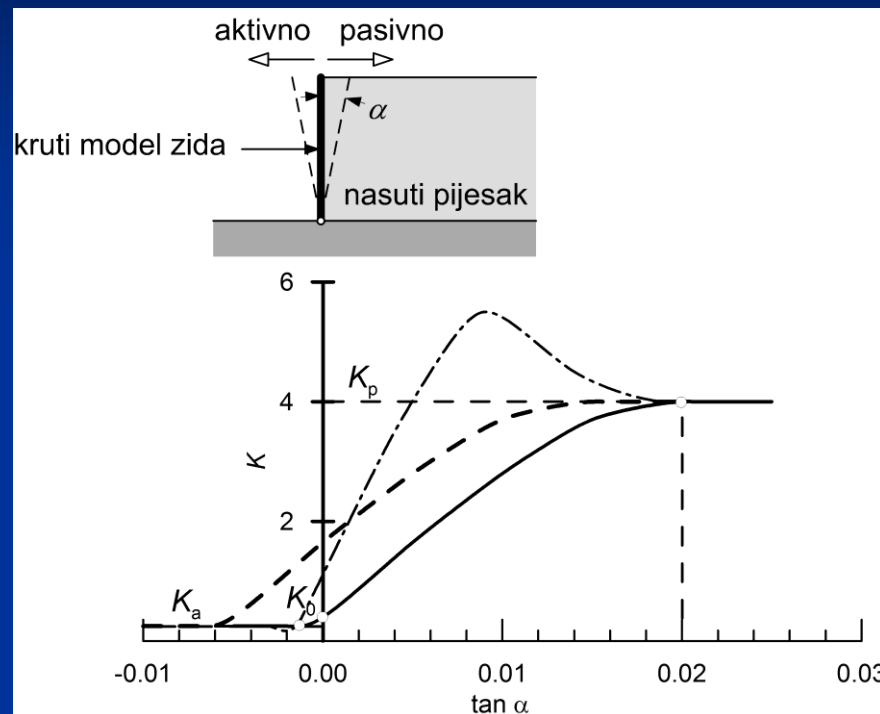
Za nagnuti teren

# Pritisak tla na zidove i granicna stanja

## Pritisici i pomaci: Terzaghi



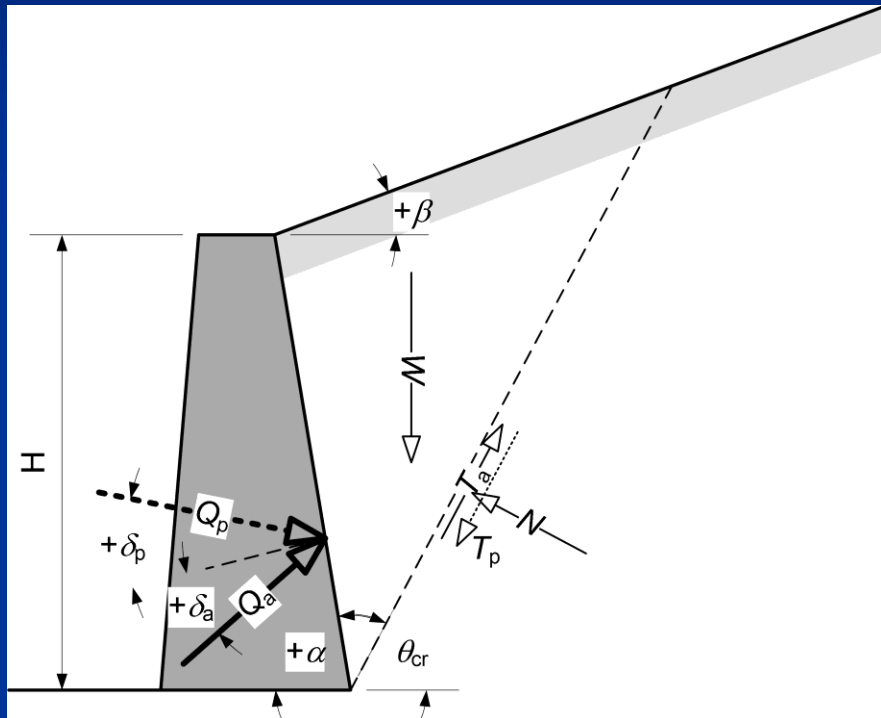
**Terzaghi 1883-1963**  
**Objavljeno 1920-1930**



Slika 5-9 Terzaghijeva modelska ispitivanja pritiska nasutog pjeska na kruti zid u ovisnosti o rotaciji zida (puna linija); kasnija istraživanja su pokazala da ovisnost pritiska o rotaciji zida ovisi i o početnom bočnom naprezanju u tlu (crtkana linija) i zbijenosti tla (točka-crta);  $K$  je odnos bočnog pritiska (normalnog naprezanja) na poledini zida i vertikalnog naprezanja u tlu

# Pritisak tla na zidove i granicna stanja

Proširenje Coulombove teorije: Müller-Breslau



Slika 5-10 Pritisak na zid prema Müller-Breslau: sile na klin tla s ravnom kliznom plohom

$$Q_a = \frac{1}{2} \gamma H^2 \frac{K_a}{\sin \alpha \cos \delta_a}$$

Kosa sila aktivnog tlaka

$$K_a = \frac{\sin^2(\alpha + \varphi) \cos \delta_a}{\sin \alpha \sin(\alpha - \delta_a) \left[ 1 + \sqrt{\frac{\sin(\varphi + \delta_a) \sin(\varphi - \beta)}{\sin(\alpha - \delta_a) \sin(\alpha + \beta)}} \right]^2}$$

$$Q_{ah} = \frac{1}{2} \gamma H^2 K_a$$

Horizontalna sila aktivnog tlaka

$$Q_p = \frac{1}{2} \gamma H^2 \frac{K_p}{\sin \alpha \cos \delta_p}$$

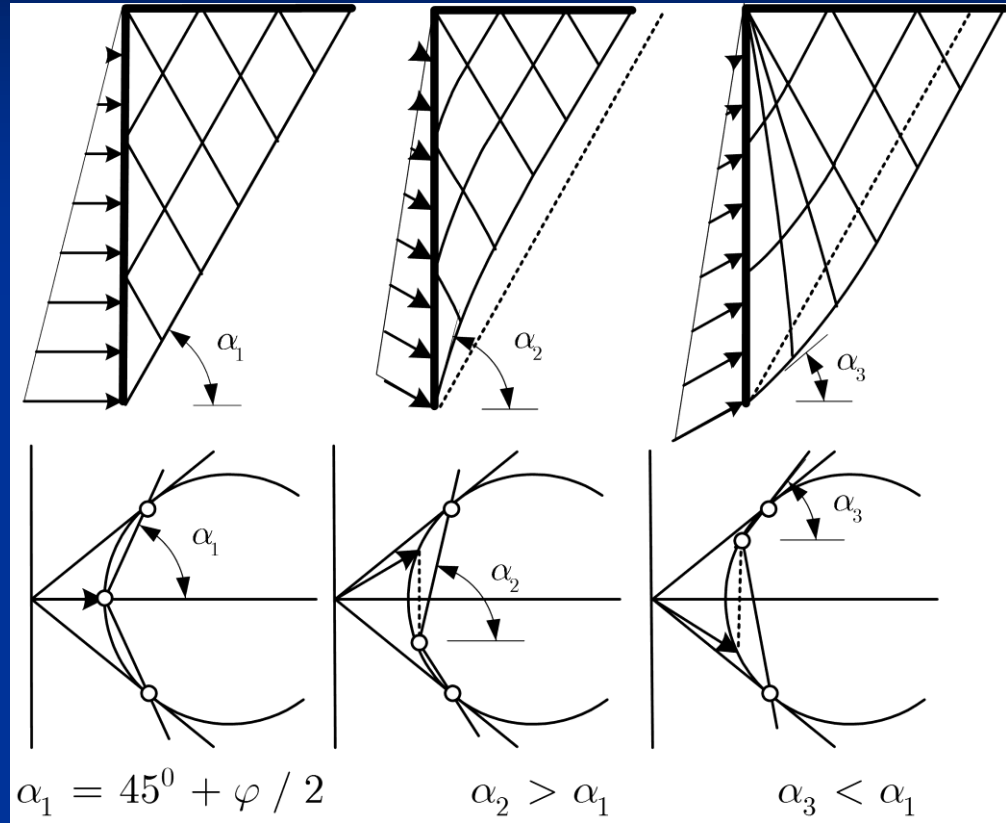
Kosa sila pasivnog otpora

$$K_p = \frac{\sin^2(\alpha - \varphi) \cos \delta_p}{\sin \alpha \sin(\alpha + \delta_p) \left[ 1 - \sqrt{\frac{\sin(\varphi + \delta_p) \sin(\varphi + \beta)}{\sin(\alpha + \delta_p) \sin(\alpha + \beta)}} \right]^2}$$

$$Q_{ph} = \frac{1}{2} \gamma H^2 K_p$$

Horizontalna sila pasivnog otpora

# Pritisak tla na zidove i granična stanja



**Slika 5-11 Utjecaj trenja na zakrivljenost kliznih ploha u plastificiranoj aktivnoj zoni tla iza zida s prikazom određivanja smjera kliznih ploha pomoću Mohrove analize naprezanja za točke na sučelju poleđine zida i tla; slično vrijedi i za pasivno stanje, samo je utjecaj obratan**

# Pritisak tla na zidove i granična stanja

Teorije plastičnosti: Kötterove jednadžbe, radovi Kerisela i Absia i teoremi gornje i donje granice

Kötter 1888 –jednadžbe plastične ravnoteže

Caquot i Kerisel 1948 – numerička rješenja Bousinesquove jednadžbe

Kerisel i Absi (1990) – tabelarna rješenja za korištenje

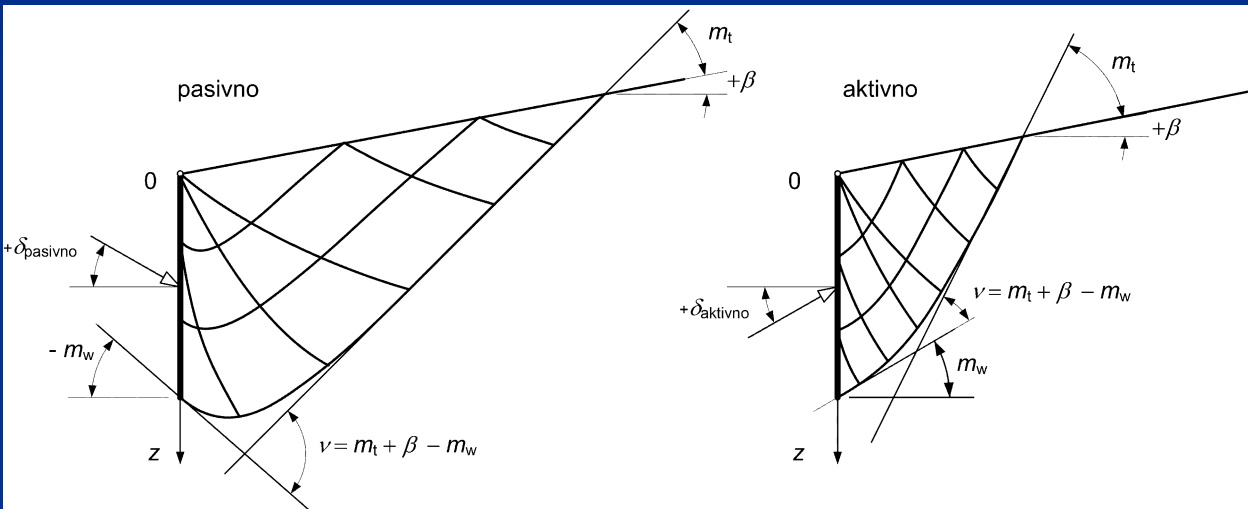
Teorem donje granice – **polje naprezanja**

Teorem gornje granice – **mehanizam, pomaci, rad sila**

# Pritisak tla na zidove i granična stanja

## Granični pritisci prema Eurokodu 7

Slika 5-12 Definicija veličina i predznaka za proračun pasivnog otpora (lijevo) i aktivnog tlaka (desno) prema EN 1997-1:2004 prema Kericel i Absi (1990)



$$m_t = \frac{1}{2} \left[ \text{acos} \left( -\frac{\sin \beta}{\sin \varphi'} \right) - \varphi' - \beta \right]$$

$$m_w = \frac{1}{2} \left[ \text{acos} \left( \frac{\sin \delta}{\sin \varphi'} \right) - \varphi' - \delta \right]$$

$$\nu = m_t + \beta - m_w$$

Koefficijent horizontalne komponente tlaka

A: -  $\delta$ , -  $\varphi'$     P: +  $\delta$ , +  $\varphi'$

$$K_h = (\cos^2 \beta) \frac{1 + \sin \varphi' \sin(2m_w + \varphi')}{1 - \sin \varphi' \sin(2m_t + \varphi')} e^{2\nu \tan \varphi'}$$

Aktivni tlak - efektivni

$$\sigma'_{ah}(z) = K_{ah} p'_v(z) - 2c' \sqrt{K_{ah} \left( 1 + \frac{c'_w}{c'} \right)}$$

Pasivni otpor - efektivni

$$\sigma'_{ph}(z) = K_{ph} p'_v(z) + 2c' \sqrt{K_{ph} \left( 1 + \frac{c'_w}{c'} \right)}$$

Efektivni pritisak nad sloja

$$p'_v(z) = \int_0^z \gamma dz + q - u$$

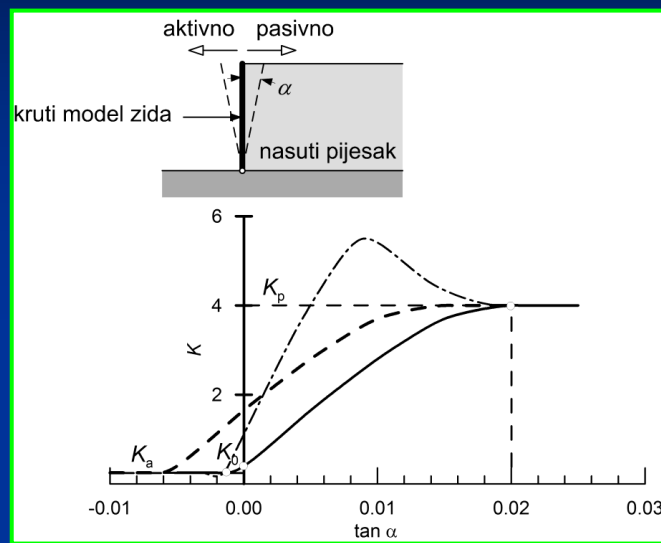
Za nedrenirano stanje:

$$\sigma_{ah}(z) = \left( \int_0^z \gamma dz + q \right) - 2c_u \sqrt{1 + \frac{c_w}{c_u}}$$

$$\sigma_{ph}(z) = \left( \int_0^z \gamma dz + q \right) + 2c_u \sqrt{1 + \frac{c_w}{c_u}}$$

# Pritisak tla na zidove i granična stanja

## Potrebni pomaci za potpuno aktiviranje graničnih pritisaka



Tablica 5-1 Vodoravni pomaci potrebni za potpuno aktiviranje aktivnog tlaka i pasivnog otpora (prema EN 1997-1:2004)

oblik pomicanja zida	aktivno $v_a/h$ (%)		pasivno $v_p/h$ (%)	
	rahlo tlo	zbijeno tlo	rahlo tlo	zbijeno tlo
a	0.4 – 0.5	0.1 – 0.2	7 – 25 (1.5 – 4)	5 – 10 (1.1 – 2)
b	0.2	0.05 – 0.1	5 – 10 (0.9 – 1.5)	3 – 6 (0.5 – 1)
c	0.8 – 1.0	0.2 – 0.5	6 – 15 (1 – 1.5)	5 – 6 (0.5 – 1.3)
d	0.4 – 0.5	0.1 – 0.2	–	–

$v$  ... pomak u zagradi ... pomaci za mobiliziranje  $\frac{1}{2}$  pasivnog otpora  
 $h$  ... visina zida

Veličine potrebnih pomaka za mobilizaciju pasivnog otpora treba povećati 1.5 do 2 puta ako se radi o tlu ispod razine podzemne vode

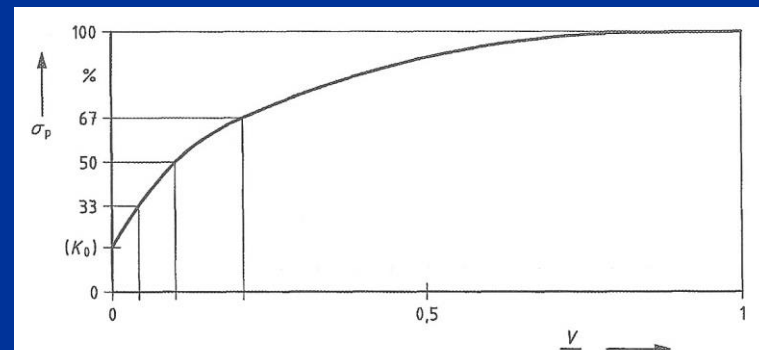
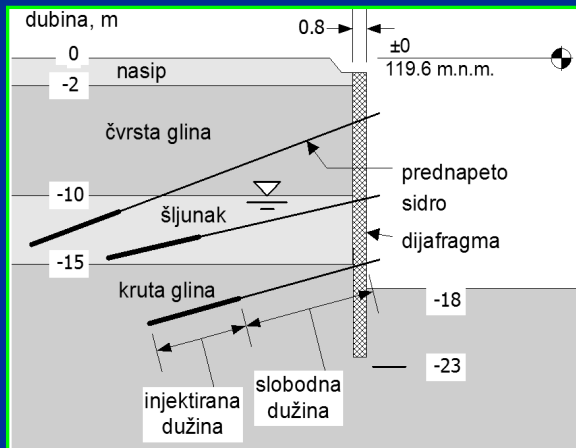


Figure C.3 — Mobilisation of passive earth pressure of non-cohesive soil versus normalised wall displacement  $v/v_p$   
( $v_p$ : displacement for the full mobilisation of passive earth pressure)

# Pritisak tla na zidove i granična stanja

## Ostvareni pomaci za ugrađene stijene



**Tablica 5-2 Tipični mjereni horizontalni pomaci pri vrhu ugrađene stijene i vertikalni pomaci terena iza stijene uslijed ugradnje same stijene u krutim glinama (prma Gaba i dr. 2003)**

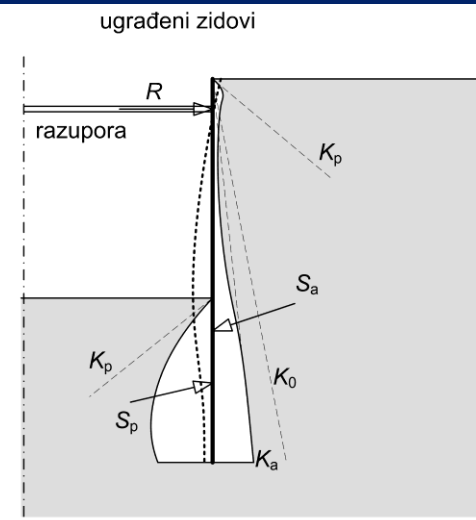
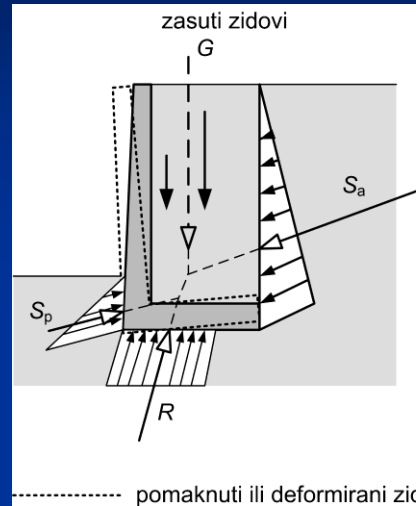
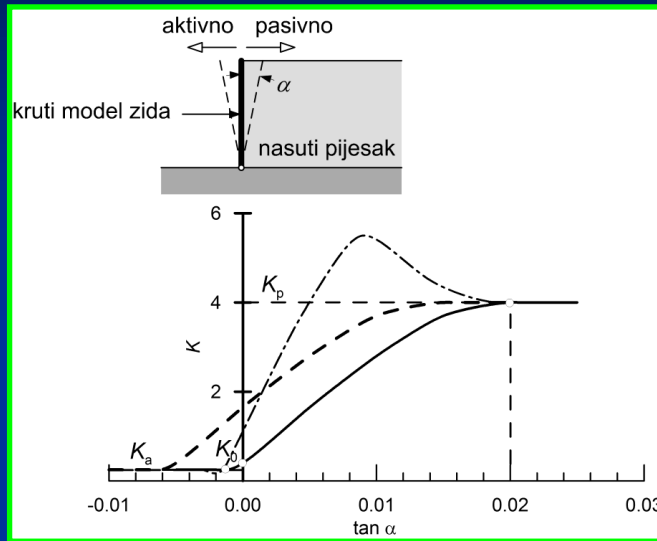
Vrsta stijene	horizontalni pomaci		vertikalni pomaci	
	vrh stijene	udaljenost od stijene na površini terena sa zanemarivim pomacima	vrh stijene	udaljenost od stijene na površini terena sa zanemarivim pomacima
Bušeni piloti				
dotičući	0.04	150	0.04	200
sekantni	0.08	150	0.05	200
Dijafragme				
plošne	0.05	150	0.05	150
s kontraforama	0.10	150	0.05	150

**Tablica 5-3 Tipični mjereni horizontalni pomaci pri vrhu ugrađene stijene i vertikalni pomaci terena iza stijene uslijed iskopa jame u krutim glinama (prma Gaba i dr. 2003)**

Vrsta pomaka	velika krutost razupiranja (guste razupore ili „top-down“ metoda izvedbe)		mala krutost razupiranja (konzolna stijena ili mekane privremene razupore na nižim razinama)	
	vrh stijene	udaljenost od stijene na površini terena sa zanemarivim pomacima	vrh stijene	udaljenost od stijene na površini terena sa zanemarivim pomacima
horizontalni	0.15	400	0.40	400
vertikalni	0.10	350	0.35	400

# Pritisak tla na zidove i granična stanja

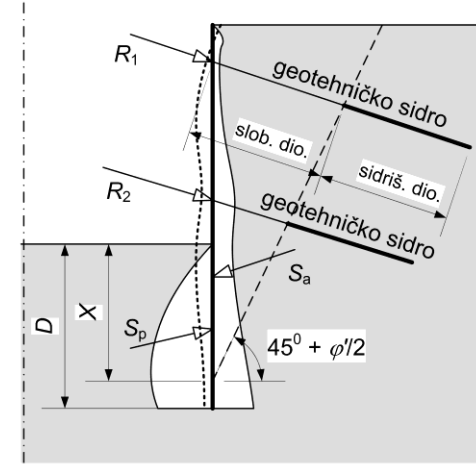
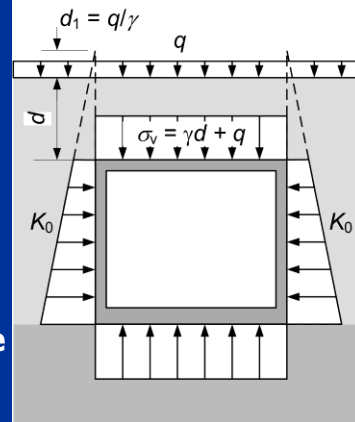
## Pritisici na zidove uz uvažavanje interakcije zida s tloom 1



Slika 5-13 Interakcija zida i tla: zasuti zidovi (lijevo) i ugrađeni zidovi (desno) s prikazom pomaknute zide i pritisaka na zid

Kod ugrađenih zidova na pritiske tla bitno utječe :

- **način ugradnje zida,**
- **njegova relativna krutost u odnosu na tlo,**
- **relativna brzina izgradnje u odnosu na brzinu konsolidacije kod slabo propusnih tla,**
- **način iskopa tla ispred zida i redoslijed ugradnje razupora ili sidara,**
- **popuštanje razupora ili sidara te**
- sile prednapinjanja koje se obično unose u sidra.**



# Pritisak tla na zidove i granična stanja

## Pritisci na zidove uz uvažavanje interakcije zida s tlom 2

Općenito:

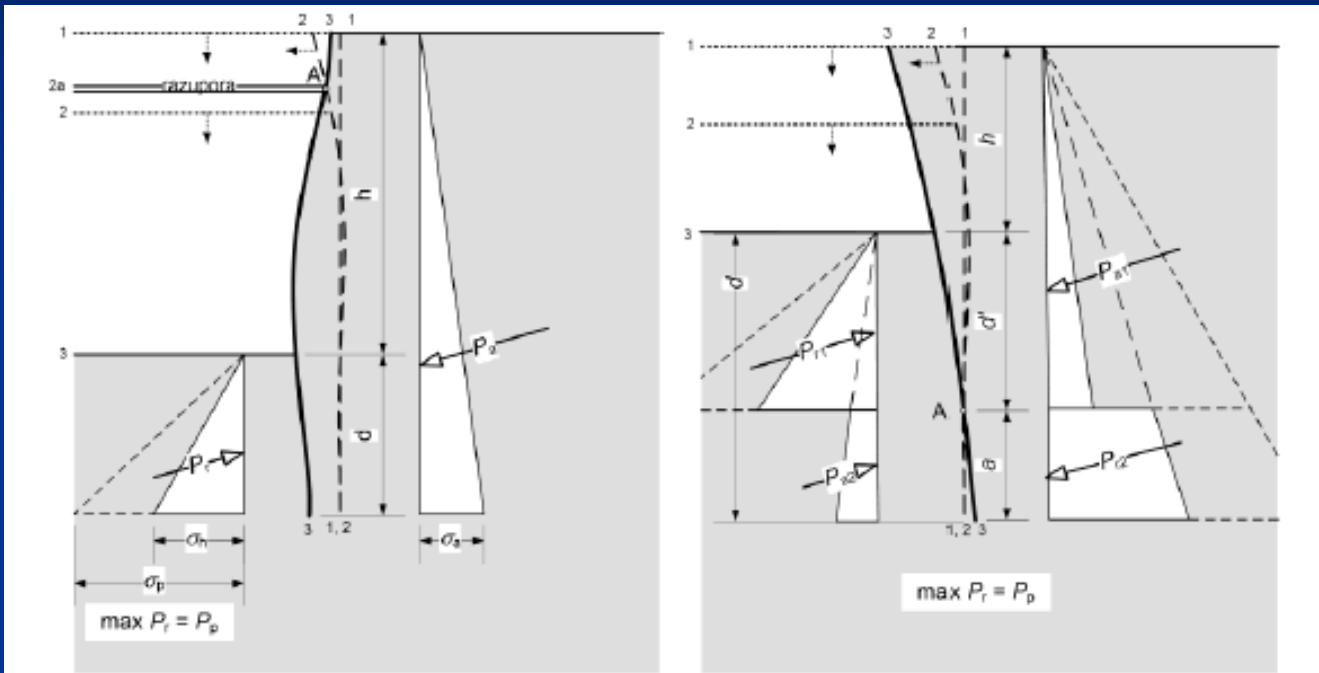
- pomaci zida ovise o pritisku tla, a pritisak tla ovisi o pomacima zida.
- ovaj naoko zatvoreni krug problema danas se rješava uvažavanjem interakcije konstrukcije zida i tla
- računalni programi metodom konačnih elemenata – dostupni na tržištu
- složeni postupci modeliranja i opisa mehaničkog ponašanja tla zahtijevaju više podataka o tlu od klasičnih postupaka
- dostupnost podataka, posebni pokusi ????

Staro **pravilo geotehničkog inženjerstva:**

**bolje je koristiti jednostavnu analizu s mjerodavnim parametrima tla nego složenu analizu s lošim ili sumnjivim parametrima.**

# Pritisak tla na zidove i granična stanja

Približni postupci određivanja pritisaka na jednostavne ugrađene zidove



**Slika 5-14 Razvoj deformacija i konačni pritisci na dvije ugrađene potporne konstrukcije:** stijena se jednim redom razupora (lijevo) i konzolna stijena (desno); 1, 2 i 3: faze iskopa jame i pripadni pomaci i deformacije stijene. Već su mali bočni pomaci i pripadne vlačne deformacije dovoljni za potpuno postizanje sile aktivnog tlaka  $P_a$ , dok je za postizanje pasivnog otpora potrebni znatno veći pomak i bočna tlačna deformacija.

Reducirani pasivni otpor  $P_p / F \approx 2 (3)$

$$\Sigma M_A = 0 \rightarrow d$$

$$\Sigma H = 0 \rightarrow Z$$

**Konzola:**

$$M_a \approx M_p \rightarrow d$$

$$\Sigma H = 0 \rightarrow a$$

# Drugi utjecaji na pritiske na zidove

## Utjecaj podzemne vode i procjeđivanja, dreniranje i hidraulički slom

- Hidrostatski tlak :  $u = \gamma_w z$
- Sila strujnog tlaka (kod procjeđivanja – tečenja vode)
- djelovanje na efektivnu težinu tla – uzgon + sila strujnog tlaka

$$\vec{\gamma}' = \vec{\gamma} - \vec{\gamma}_w + \vec{i}|\vec{\gamma}_w| = \vec{\gamma}_b + \vec{i}|\vec{\gamma}_w| \quad \text{Volumenske sile !!}$$

$\vec{\gamma}'$  - vektor efektivne jedinične težine tla

$\vec{\gamma}$  - vektor jedinične težine tla

$\vec{\gamma}_w$  - vektor jedinične (specifične) težine vode

$\vec{i} = \underline{\underline{\text{grad } h}}$  - gradijent (vektor) hidrauličkog potencijala  $h$

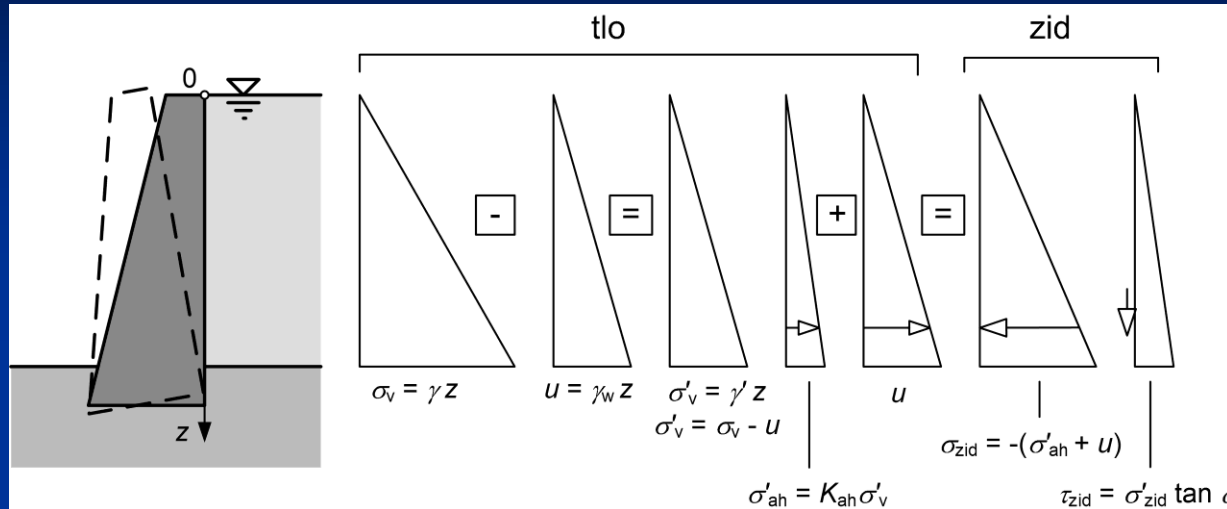
$\vec{\gamma}_b = \vec{\gamma} - \vec{\gamma}_w$  - vektor uronjene jedinične težine tla

Ukupni normalni pritisak na zid       $\sigma_{\text{zid}} = -\sigma = -(\sigma' + u)$

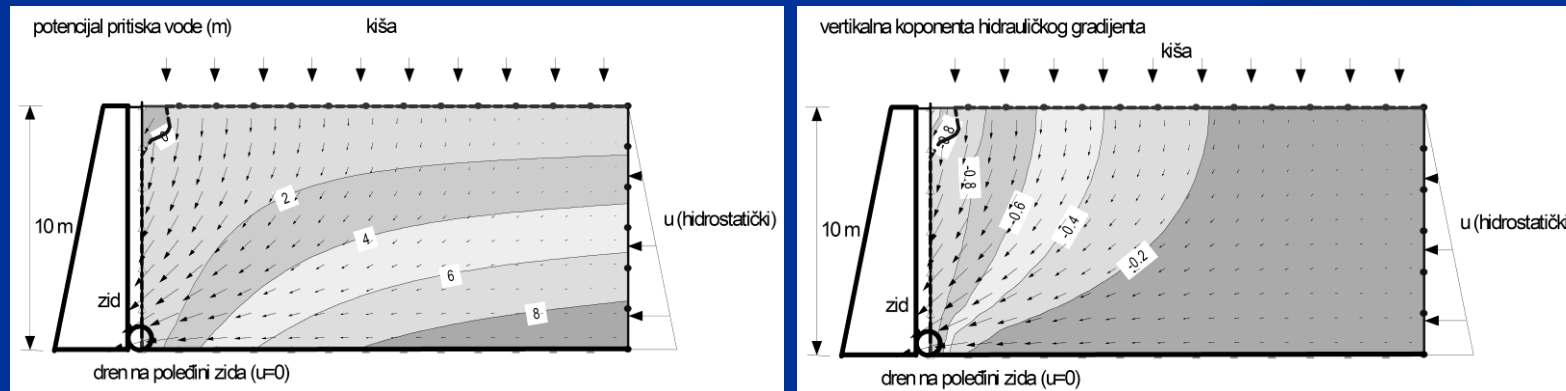
Posmično djelovanje na zid       $\tau_{\text{zid}} = -\tau$

# Drugi utjecaji na pritiske na zidove

Utjecaj podzemne vode i procjeđivanja, dreniranje i hidraulički slom



Slika 5-15 Proračun i raspodjela pritisaka tla na gravitacijski zid za aktivno stanje plastične ravnoteže kad je podzemna voda u hidrostatickom stanju s razinom na površini terena iza zida



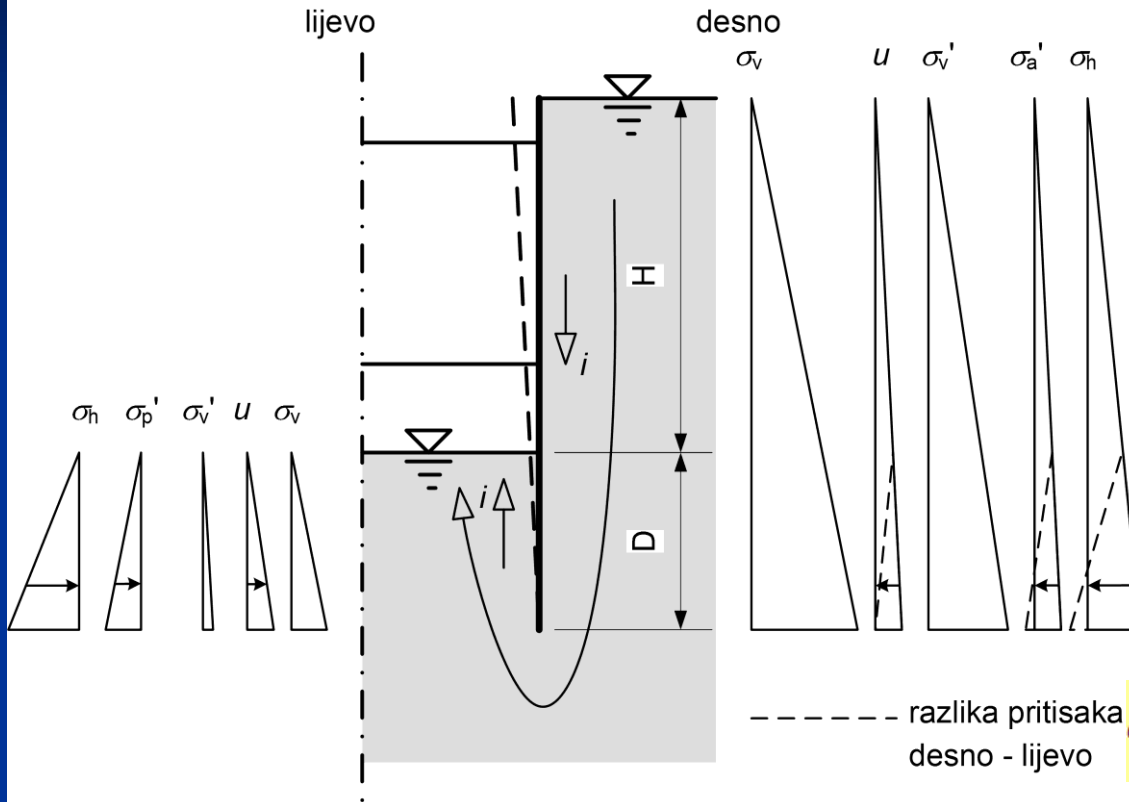
Slika 5-16 Učinak drena na poleđini gravitacijskog betonskog zida:

potencijali pritiska ili piezometarci potencijali (gore) i vertikalne komponente hidrauličkog gradijenta, (dolje)

# Drugi utjecaji na pritiske na zidove

Utjecaj podzemne vode i procjeđivanja, dreniranje i hidraulički slom

**DESNO**



$$\sigma_{v\text{desno}}(z) = \int_0^z \gamma dz + q \quad i = \frac{\Delta h}{L} = \frac{H}{H+2D}$$

$$u_{\text{desno}}(z) = \int_0^z (\gamma_w - i\gamma_w) dz$$

$$\begin{aligned} \sigma'_{v\text{desno}}(z) &= \sigma_{v\text{desno}}(z) - u_{\text{desno}}(z) = \int_0^z \gamma' dz + q \\ &= \int_0^z (\gamma_b + i\gamma_w) dz + q \end{aligned}$$

$$\sigma'_{a\text{desno}}(z) = \sigma'_{v\text{desno}}(z) K_{ah}$$

$$\sigma_{h\text{desno}}(z) = \sigma'_{a\text{desno}}(z) + u_{\text{desno}}(z)$$

**LIJEVO**

----- razlika pritisaka  
desno - lijevo

$$\sigma_{v\text{ljevo}}(z') = \int_0^{z'} \gamma dz' \quad u_{\text{ljevo}}(z') = \int_0^{z'} (\gamma_w + i\gamma_w) dz'$$

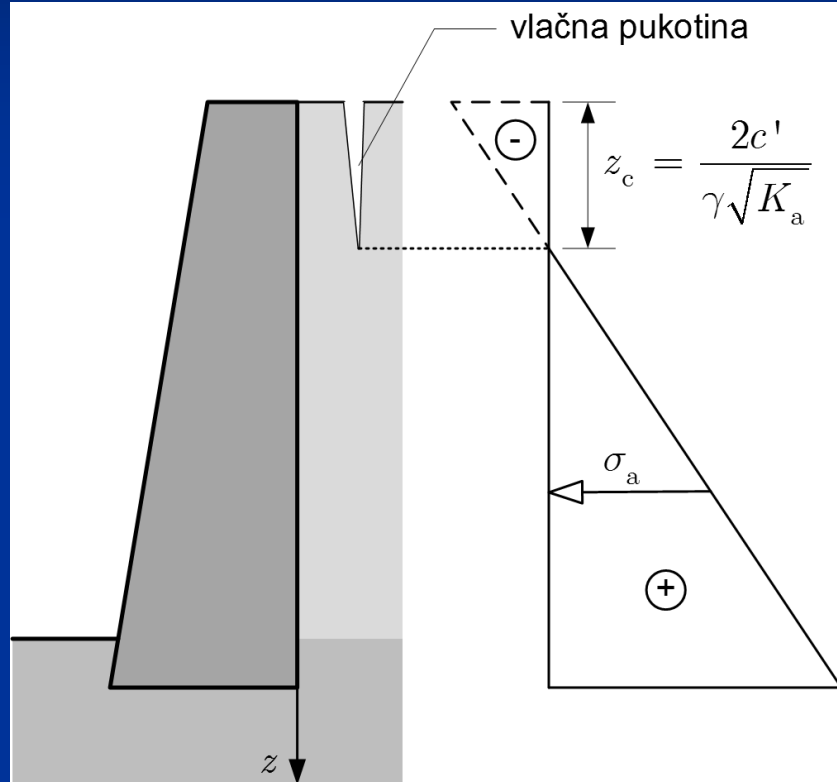
$$\sigma'_{v\text{ljevo}}(z') = \sigma_{v\text{ljevo}}(z') - u_{\text{ljevo}}(z') = \int_0^{z'} \gamma' dz' = \int_0^{z'} (\gamma_b - i\gamma_w) dz'$$

$$\sigma'_{p\text{ljevo}}(z') = \sigma'_{v\text{ljevo}}(z') K_{ph} \quad \sigma_{h\text{ljevo}}(z') = \sigma'_{p\text{ljevo}}(z') + u_{\text{ljevo}}(z')$$

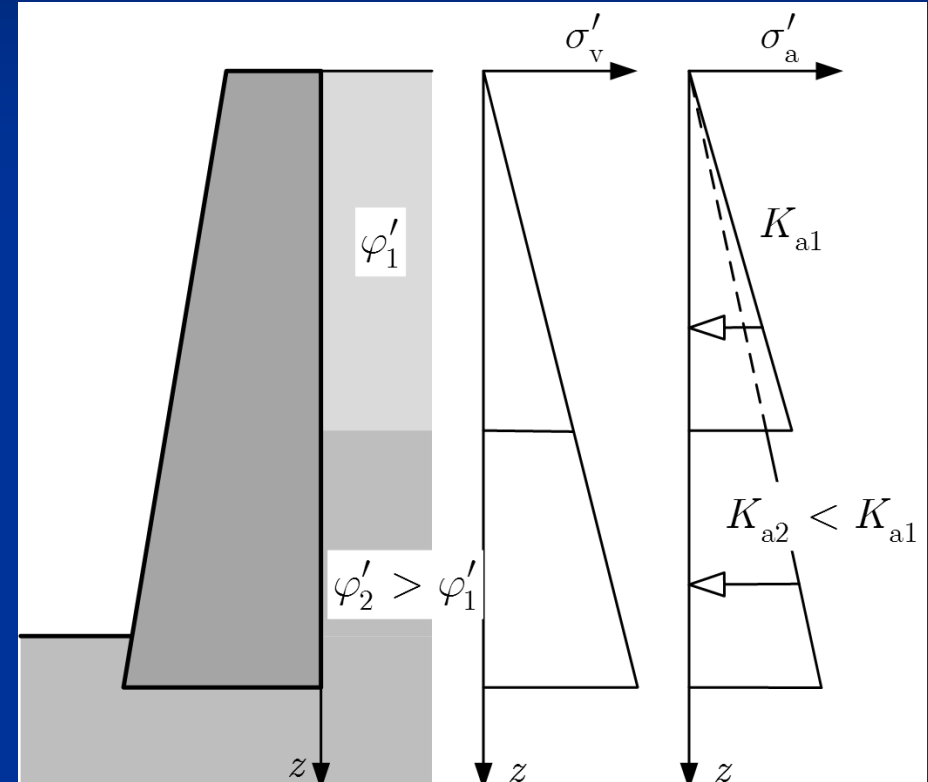
**HIDRAULIČKI SLOM (lijevo)  $\gamma' \leq 0$  EC7:  $1.35 u \leq 0.9 \sigma_v$**

# Drugi utjecaji na pritiske na zidove

Vlačne pukotine



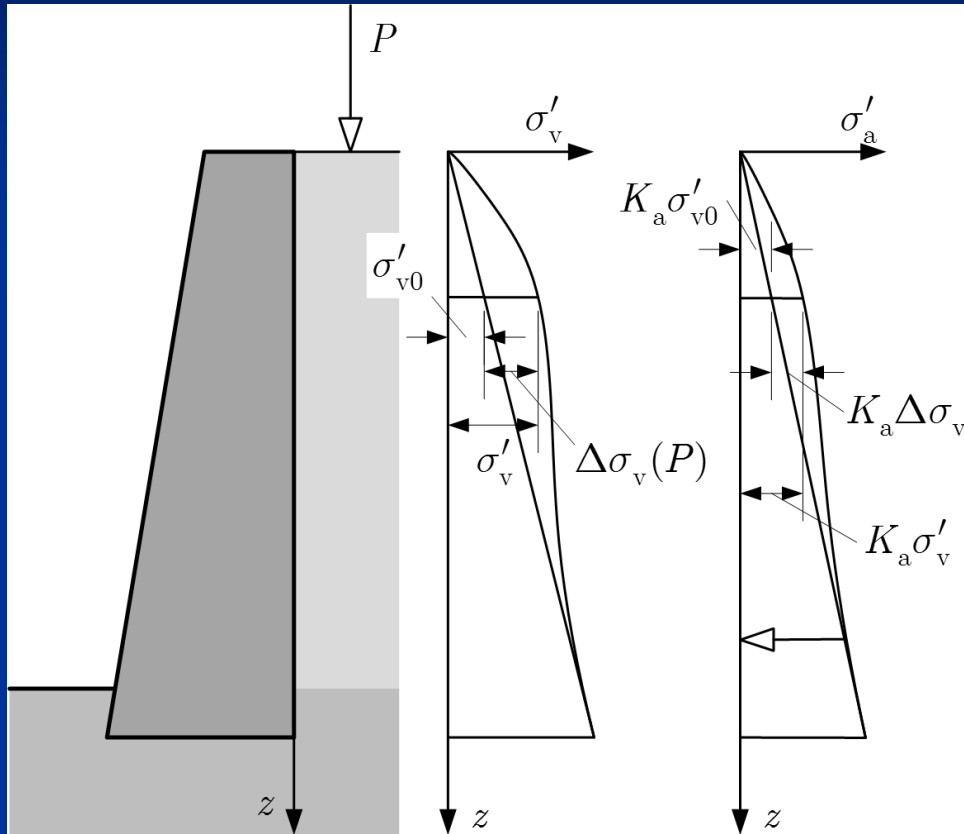
Uslojeno tlo



Slika 5-18 Utjecaj na aktivni tlak i pasivni otpor: (a) vlačne pukotine, i (b) uslojeno tla s različitim kutovima trenja

# Drugi utjecaji na pritiske na zidove

## Utjecaj površinskog opterećenja



- Više teorija
- Najčešće kao za elastični poluprostor

Slika 5-19 Utjecaj površinskog opterećenja na veličinu aktivnog tlaka; dodatno vertikalno naprezanje u tlu, izazvano površinskim opterećenjem određuje se najčešće kao za elastični poluprostor

# Drugi utjecaji na pritiske na zidove

## Utjecaj trenja između zida i tla

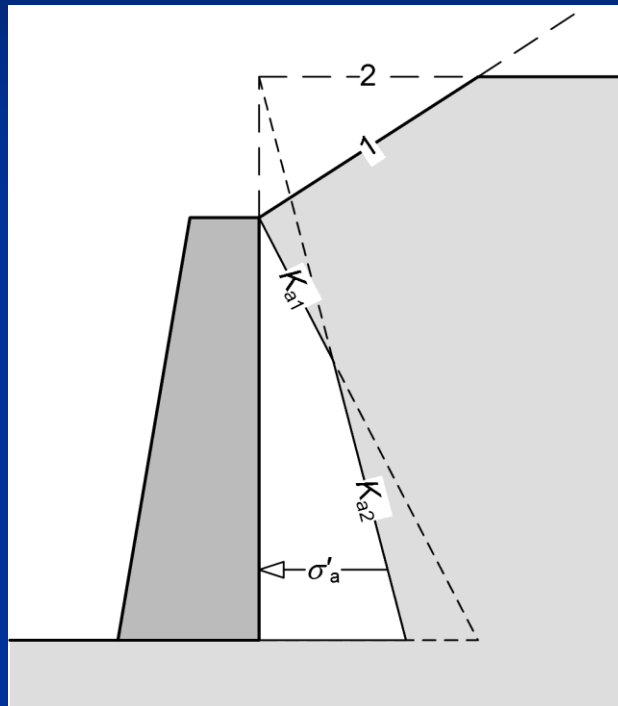
Tablica 5-4 Preporučene vrijednosti parametara trenja između zida i tla

slučaj	drenirani uvjeti		nedrenirani uvjeti	
	$c'_w$	$\delta'$	$c_w$	$\delta$
hrapavi zid, izliven u tlu	0 (EC7)	$\varphi'$ (EC7)	$\frac{1}{2} c_u$	0
glatki zid, pred gotovljen	0 (EC7)	do $\frac{2}{3} \varphi'$ (EC7)	$\frac{1}{2} c_u$	0
zabijene talpe, neposredno nakon zabijanja	-	-	0 (EC7)	0 (EC7)

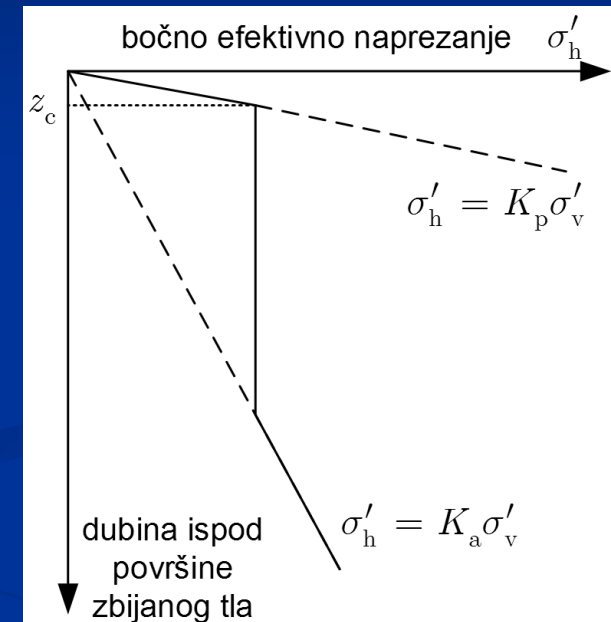
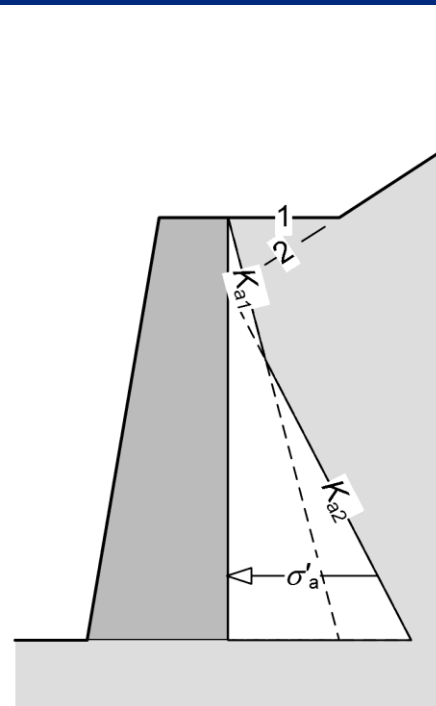
$$\tau_{f; \text{zid}} = c'_w + \sigma' \tan \delta' \quad (5.45)$$

# Drugi utjecaji na pritiske na zidove

Utjecaj izlomljene površine terena



Utjecaj zbijanja tla iza zida



Slika 5-21 Dodatni bočni pritisci na zid izazvani zbijanjem nasipa iza zida (prema Ingold, 1979)

Slika 5-20 Približno određivanje aktivnog tlaka (i pasivnog otpora) za slučaj izlomljene površine terena

$$z_c = \frac{1}{K_p} \sqrt{\frac{2p}{\pi \gamma'}}$$

# Gradjevna jama – centar “Branimir”



# Gradjevna jama – centar “Branimir” - monitoring



- reperi na zgradama
- K klinometri na zgradama
- IN-R inklinometri i reperi u naglavnici dijafragme
- M-R parovi mikrometara i inklinometara, reperi u naglavnici
- D horizontalni deformetri

